

This map was produced by Natural Resources Canada in co-operation with Health Canada.

Cette carte a été produite par Ressources naturelles Canada en collaboration avec Santé Canada.

#### GSC OPEN FILE 6743 / DOSSIER PUBLIC 6743 DE LA CGC

#### GEOPHYSICAL SERIES / SÉRIE DES CARTES GÉOPHYSIQUES NTS 83 G, parts of 83 B, 83 C, and 83 F / SNRC 83 G et parties de 83 B, 83 C et 83 F

#### AIRBORNE GEOPHYSICAL SURVEY, EDSON, ALBERTA LEVÉ GÉOPHYSIQUE AÉROPORTÉ, EDSON, ALBERTA

**Authors:** Carson, J.M., Ford, K.L., Hefford, S.,  
Fortin, R. and Harvey, B.J.A.

Data acquisition, compilation and map production by Fugro Airborne Surveys, Ottawa, Ontario. Contract and project management by the Geological Survey of Canada, Ottawa, Ontario.

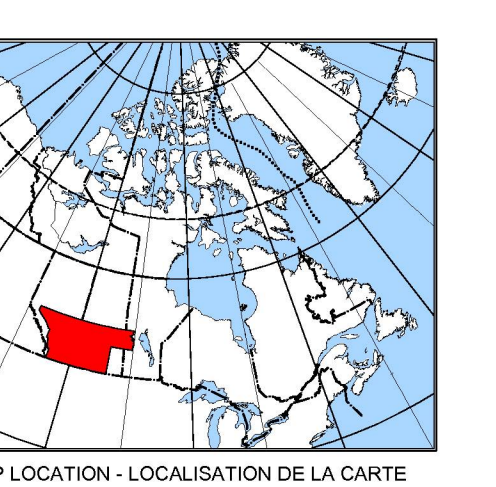
**Auteurs:** Carson, J.M., Ford, K.L., Hefford, S.,  
Fortin, R. et Harvey, B.J.A.

L'acquisition, la compilation des données ainsi que la production des cartes furent effectuées par Fugro Airborne Surveys, Ottawa, Ontario. La gestion et la supervision du projet furent effectuées par la Commission géologique du Canada, Ottawa, Ontario.

#### THORIUM

Scale 1:500 000 - Échelle 1/500 000

kilometres  
kilomètres  
NAD83 / UTM zone 11N



MAP LOCATION - LOCALISATION DE LA CARTE

Universal Transverse Mercator Projection  
© Her Majesty the Queen in Right of Canada 2011  
Projection transverse universelle de Mercator  
Système de coordonnées géographiques NAD83  
© Sa Majesté la Reine du chef du Canada 2011  
Digital Topographic Data provided by Geomatics Canada, Natural Resources Canada  
Données topographiques numériques de Geomatics Canada, Ressources naturelles Canada

A quantitative gamma-ray spectrometric airborne geophysical survey of Southern Alberta, Southern Saskatchewan, and West-central Manitoba was completed by Fugro Airborne Surveys. The survey was flown from August 4th to September 27th, 2010 using a Cessna 208B Caravan aircraft (C-GNCNA) and a Cessna 404 Caravan aircraft (C-FYAU). The nominal traverse line spacing was 5000 m, and the aircraft flew at a nominal terrain clearance of 150 m at an air speed between 200 and 270 km/h. Traverse lines were oriented 90°. The flight path was recovered following post-flight differential corrections to raw data recorded by a Global Positioning System.

#### Gamma-ray Spectrometric Data

The airborne gamma-ray measurements were made with Exploranium GR820 gamma-ray spectrometers. Each detector system consisted of fourteen 102 x 102 x 406 mm NaI (Tl) crystals. The main detector arrays consisted of twelve crystals (total volume 50.4 litres). Two crystals (total volume 8.4 litres), shielded by the main arrays, were used to detect variations in background radiation caused by atmospheric radon. The systems constantly monitored the natural thorium peak for each crystal, and using a Gaussian least squares algorithm, adjusted the gain for each crystal.

Potassium is measured directly from the 1460 keV gamma photons emitted by  $K^{40}$ , whereas uranium and thorium are measured indirectly from gamma-ray photons emitted by daughter products ( $B^{37}$  for uranium and  $T^{227}$  for thorium). Although these daughters are far down their respective decay chains, they are assumed to be in equilibrium with their parents; thus gamma-ray spectrometric measurements of uranium and thorium are, respectively, equivalent to potassium and thorium, i.e.  $_{\text{U}}^{238}$  and  $_{\text{Th}}^{232}$ . The energy windows used to measure potassium, uranium and thorium are, respectively, 1370 - 1570 keV, 1660 - 1860 keV, and 2410 - 2810 keV.

Gamma-ray spectra were recorded at one-second intervals. During processing, the spectra were energy calibrated, and the counts were accumulated into the windows described above. Counts from the radon detectors were recorded in a 1660 - 1860 keV window and radiation at energies greater than 3000 keV was recorded in the cosmic window. The window counts were corrected for dead time, background activity from cosmic radiation, radioactivity of the aircraft and atmospheric radon decay products. The window counts were then corrected for spectral scattering in the ground, air and detectors. Corrections for deviations from the planned terrain clearance and for variation of temperature and pressure were made prior to conversion to ground concentrations of potassium, uranium and thorium, using factors determined from flights over the Breckenridge, Quebec calibration range. The factors for potassium, uranium, and thorium were, respectively, 74.385 cps/%, 7.457 cps/ppm, and 4.826 cps/ppm for C-FYAU and 78.92 cps/%, 6.07 cps/ppm, and 5.32 cps/ppm for C-GNCNA.

Corrected data were filtered and interpolated to a 500 m grid interval. The results of an airborne gamma-ray spectrometer survey represent the average surface concentrations, which are usually lower than the actual background concentrations. The air absorbed dose rate in nanosieverts per hour was computed from the measured concentrations of potassium, uranium and thorium. A more comprehensive description of airborne gamma-ray spectrometry surveys including technical specifications, instrumentation, calibration, data processing and interpretation is covered by Grasty et al., (1991), Grasty and Minty (1995), and the International Atomic Energy Agency (2003) and references therein.

#### LEVÉ GÉOPHYSIQUE AÉROPORTÉ

Un levé géophysique aéroporté de spectroscopie gamma a été réalisé dans le sud de l'Alberta, le sud de la Saskatchewan, et le centre-ouest du Manitoba pour aider à Fugro Airborne Surveys. Le survol a été effectué le 4 août au 27 septembre 2010 à bord d'un avion Cessna 208 Caravan (C-GNCNA) et un Cessna 404 Caravan (C-FYAU). L'espace entre les lignes de survol nominal était de 5000 m, alors que l'altitude nominale de survol était de 150 m au-dessus du sol et que la vitesse était de 200 à 270 km/h. Les lignes de vol étaient orientées à 90°. La trajectoire de vol a été restituée par l'application après le vol de corrections différentes aux données brutes enregistrées avec un récepteur GPS.

#### Données de spectrométrie gamma

Les mesures du rayonnement gamma ont été effectuées respectivement à l'aide d'un spectromètre gamma Exploranium GR820 utilisant quatorze cristaux de NaI (Tl) de 102 x 102 x 406 mm. Le réseau de capteurs se compose de douze cristaux (volume total de 50.4 litres). Deux cristaux supplémentaires (volume total de 8.4 litres), protégés par le réseau principal, ont été utilisés pour déceler les variations du rayonnement naturel causées par le radon atmosphérique. Le dispositif permettait de faire un suivi constant des pics du thorium pour chacun des cristaux, et au moyen d'un ajustement gaussien par la méthode des moindres carrés, de compenser le gain pour chacun des cristaux.

Le potassium est mesuré directement à partir des photons gamma de 1460 keV émis par le  $K^{40}$ ; tandis que l'uranium et le thorium sont mesurés indirectement à partir des photons émis par leurs produits descendants ( $B^{37}$  pour l'uranium et  $T^{227}$  pour le thorium). Bien que ces mesures soient réalisées immédiatement après les émissions émises par les parents, elles sont filtrées et intégrées dans une chaîne de désintégration, ce processus qui est en équilibre avec leur半壽期 plus courte; alors les mesures spectrométriques du rayonnement gamma de l'uranium et du thorium sont désignées comme des équivalents d'uranium et des équivalents de thorium, soit 1370 et 1670 keV. Les plages d'énergie utilisées pour mesurer le potassium, l'uranium et le thorium sont respectivement de 1 370 à 1 570 keV, de 1 660 à 1 860 keV et de 2 410 à 2 810 keV.

Les spécimens du rayonnement gamma ont été enregistrés pendant des intervalles d'une seconde. Pendant le traitement, les spectres ont été soumis à un étalement énergétique et les coups ont été cumulés dans les plages décrites ci-dessus. Les coups obtenus à l'aide des capteurs de radon ont été enregistrés dans la plage de 1 660 à 1 860 keV et le rayonnement à des énergies supérieures à 3 000 keV a été enregistré dans la plage du rayonnement cosmique. Les coups enregistrés dans les plages ont été corrigés pour tenir compte du temps mort, du rayonnement de fond du survol et de l'absorption par l'atmosphère. Les coups enregistrés dans les plages de diffusion ont été corrigés pour tenir compte de l'absorption dans le sol, l'air et les capteurs. Les corrections portent également à la hauteur de vol prévue et les variations de température et de pression ont été effectuées avant la conversion en concentrations équivalentes au sol du potassium, de l'uranium et du thorium, en utilisant des facteurs déterminés par une comparaison avec des résultats obtenus lors de vols effectués depuis une bande d'échantillonnage à Breckenridge, Québec. Les facteurs déterminés pour le potassium, l'uranium et le thorium étaient respectivement de 78.92 cps/%, 6.07 cps/ppm, et 5.32 cps/ppm pour C-GNCNA et de 74.39 cps/%, 7.457 cps/ppm, et 4.826 cps/ppm pour C-FYAU.

Un filtre a été appliqué aux données corrigées, qui ont ensuite été interpolées suivant une grille à maille de 500 m. Les résultats d'un levé aérien de spectrométrie gamma représentent les concentrations moyennes à la surface, qui sont influencées par les étendues variables des affleurements, des morts-tenu et par la densité de végétation et l'eau dans le terrain. Par conséquent, les concentrations peuvent être quelque peu faibles que les concentrations réelles dans le rocher sous-jacent. Le débit nominal de la ligne de survol dans le sol, l'air et les capteurs. Les corrections portent également à la hauteur de vol prévue et les variations de température et de pression ont été effectuées avant la conversion en concentrations équivalentes au sol du potassium, de l'uranium et du thorium, en utilisant des facteurs déterminés par une comparaison avec des résultats obtenus lors de vols effectués depuis une bande d'échantillonnage à Breckenridge, Québec. Les facteurs déterminés pour le potassium, l'uranium et le thorium étaient respectivement de 78.92 cps/%, 6.07 cps/ppm, et 5.32 cps/ppm pour C-GNCNA et de 74.39 cps/%, 7.457 cps/ppm, et 4.826 cps/ppm pour C-FYAU.

Une description plus complète de la spectrométrie gamma aéroportée, incluant les spécifications techniques, l'instrumentation, les techniques d'enregistrement, le traitement et l'interprétation des données a été présentée par Grasty et coll., (1991), Grasty et Minty (1995), et par l'Agence internationale de l'Energie Atomique (2003).

#### References/Références

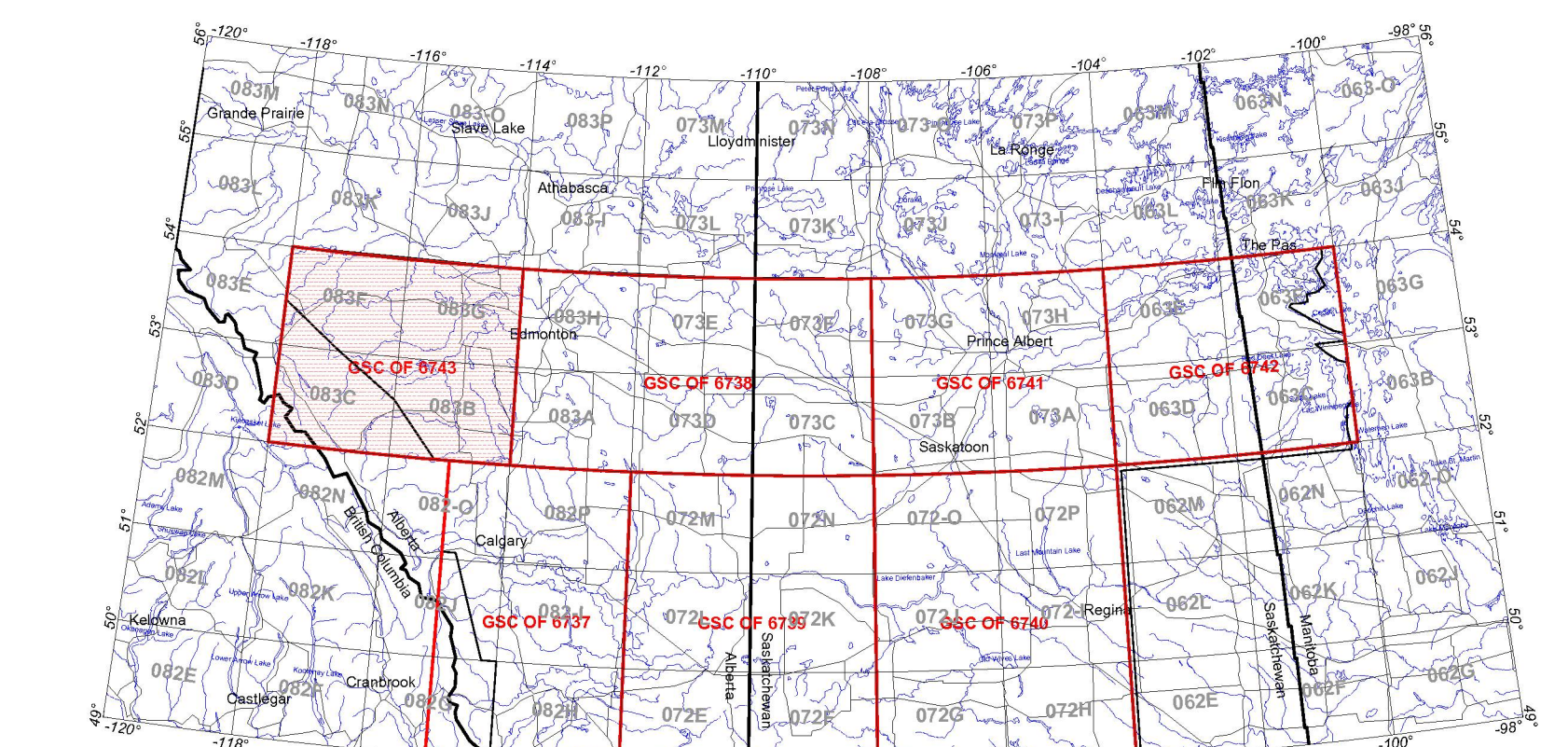
Grasty, R.L., Mellander, H. and Parker, M. (1991) Airborne Gamma-ray spectrometer surveying: International Atomic Energy Agency, Technical Report Series 323, Vienna, 97 p.

Grasty, R.L. and Minty, B.R.S. (1995) A guide to the technical specifications for airborne gamma-ray surveys; Australian Geological Survey Organisation, Record 1995/0, 89 p.

International Atomic Energy Agency, 2003. Guidelines for radon mapping using gamma ray spectrometry data. IAEA-TECDOC-1363, 173p.

#### PLANIMETRIC SYMBOLS / SYMBOLES PLANIMÉTRIQUES

Roads	—	Routes
Railway	—	Chemin de fer
Power Line	—	Ligne de transport d'énergie
Drainage	—	Drainage
Flight path	L1001D	Ligne de Vol



NATIONAL TOPOGRAPHIC SYSTEM REFERENCE AND GEOPHYSICAL MAP INDEX  
SYSTÈME NATIONAL DE RÉFÉRENCE CARTOGRAPHIQUE ET INDEX DES CARTES GÉOPHYSIQUES

#### AIRBORNE GEOPHYSICAL SURVEY, EDSON, ALBERTA LEVÉ GÉOPHYSIQUE AÉROPORTÉ, EDSON, ALBERTA

MAP SHEET SUMMARY / SOMMAIRE DES FEUILLES	
GSC Sheet	MAP / CARTE
CCG Feuillet	
1. Natural Air Absorbed Dose Rate	
2. Taux d'absorption naturel des rayons gamma dans l'air	
3. Potassium	
4. Uranium	
5. Thorium	
6. Uranium / Potassium	
7. Thorium / Potassium	
8. Ternary Radon/Thorium Map	
	Diagramme ternaire des radon/thorium

GSC Sheet

CCG Feuillet

1. Natural Air Absorbed Dose Rate

Taux d'absorption naturel des rayons gamma dans l'air

2. Potassium

3. Uranium

4. Thorium

5. Uranium / Thorium

6. Uranium / Potassium

7. Thorium / Potassium

8. Ternary Radon/Thorium Map

Diagramme ternaire des radon/thorium

3. Uranium

4. Thorium

5. Uranium / Thorium

6. Uranium / Potassium

7. Thorium / Potassium

8. Ternary Radon/Thorium Map

Diagramme ternaire des radon/thorium

MAP SHEET SUMMARY / SOMMAIRE DES FEUILLES

GSC Sheet

CCG Feuillet

1. Natural Air Absorbed Dose Rate

Taux d'absorption naturel des rayons gamma dans l'air

2. Potassium

3. Uranium

4. Thorium

5. Uranium / Thorium

6. Uranium / Potassium

7. Thorium / Potassium

8. Ternary Radon/Thorium Map

Diagramme ternaire des radon/thorium

MAP SHEET SUMMARY / SOMMAIRE DES FEUILLES

GSC Sheet

CCG Feuillet

1. Natural Air Absorbed Dose Rate

Taux d'absorption naturel des rayons gamma dans l'air

2. Potassium

3. Uranium

4. Thorium

5. Uranium / Thorium